

Modelo Detalhado de Transformadores

Prof. Dr. Eduardo Coelho Marques da Costa
Prof. Dr. Renato Machado Monaro



$$\begin{pmatrix} v_1 \\ v_2 \end{pmatrix} = \begin{bmatrix} L_{11} & L_{21} \\ L_{12} & L_{22} \end{bmatrix} \frac{d}{dt} \begin{pmatrix} i_1 \\ i_2 \end{pmatrix}$$

$$\frac{d}{dt} \begin{pmatrix} i_1 \\ i_2 \end{pmatrix} = \frac{1}{L_{11}L_{22} - L_{12}L_{21}} \begin{bmatrix} L_{22} & -L_{21} \\ -L_{12} & L_{11} \end{bmatrix} \begin{pmatrix} v_1 \\ v_2 \end{pmatrix}$$

$$\frac{di_1}{dt} = \frac{L_{22}}{L_{11}L_{22} - L_{12}L_{21}} v_1 - \frac{L_{21}}{L_{11}L_{22} - L_{12}L_{21}} v_2$$

$$\frac{di_2}{dt} = \frac{-L_{12}}{L_{11}L_{22} - L_{12}L_{21}} v_1 + \frac{L_{11}}{L_{11}L_{22} - L_{12}L_{21}} v_2$$

Substituição numérica:

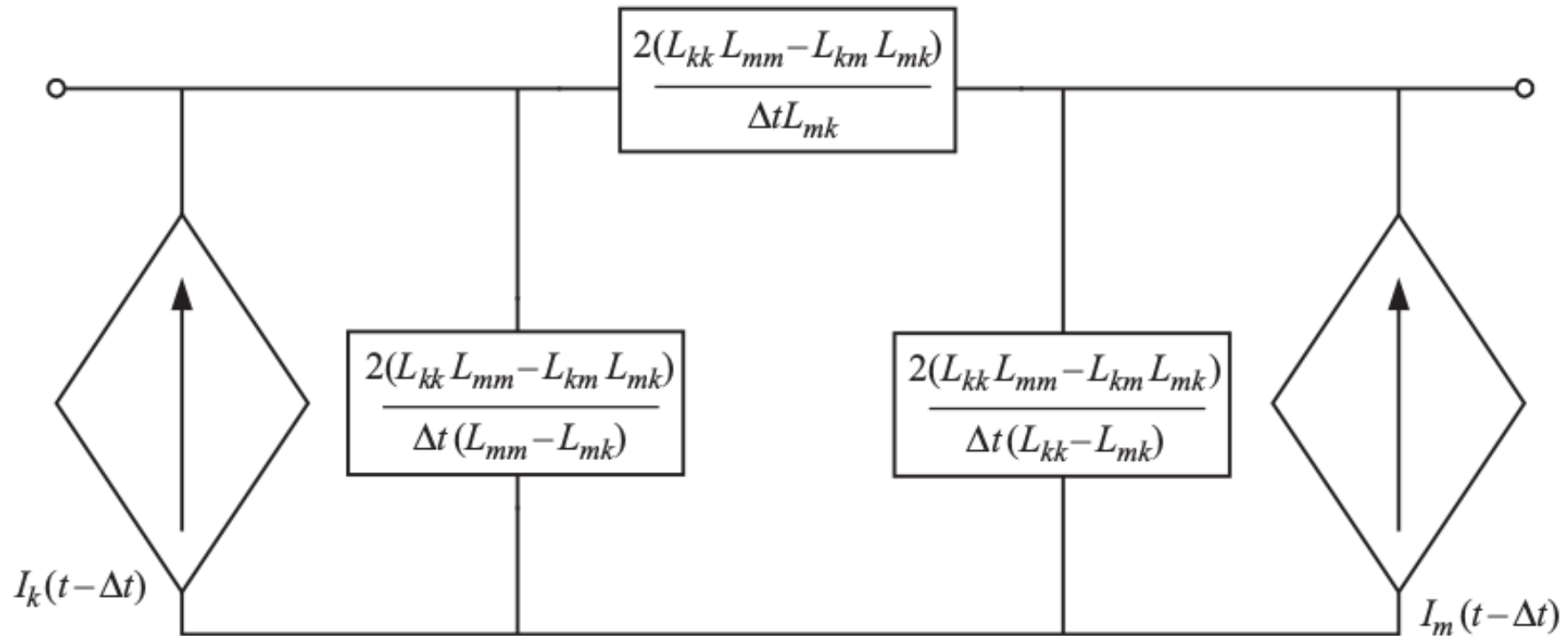
$$\begin{aligned} i_1(t) &= \frac{L_{22}}{L_{11}L_{22} - L_{12}L_{21}} \int_0^t v_1 dt - \frac{L_{21}}{L_{11}L_{22} - L_{12}L_{21}} \int_0^t v_2 dt \\ &= i_1(t - \Delta t) + \frac{L_{22}}{L_{11}L_{22} - L_{12}L_{21}} \int_{t-\Delta t}^t v_1 dt \\ &\quad - \frac{L_{21}}{L_{11}L_{22} - L_{12}L_{21}} \int_{t-\Delta t}^t v_2 dt \\ &= i_1(t - \Delta t) + \frac{L_{22}\Delta t}{2(L_{11}L_{22} - L_{12}L_{21})} (v_1(t - \Delta t) + v_1(t)) \\ &\quad - \frac{L_{21}\Delta t}{2(L_{11}L_{22} - L_{12}L_{21})} (v_2(t - \Delta t) + v_2(t)) \end{aligned}$$

Substituição numérica:

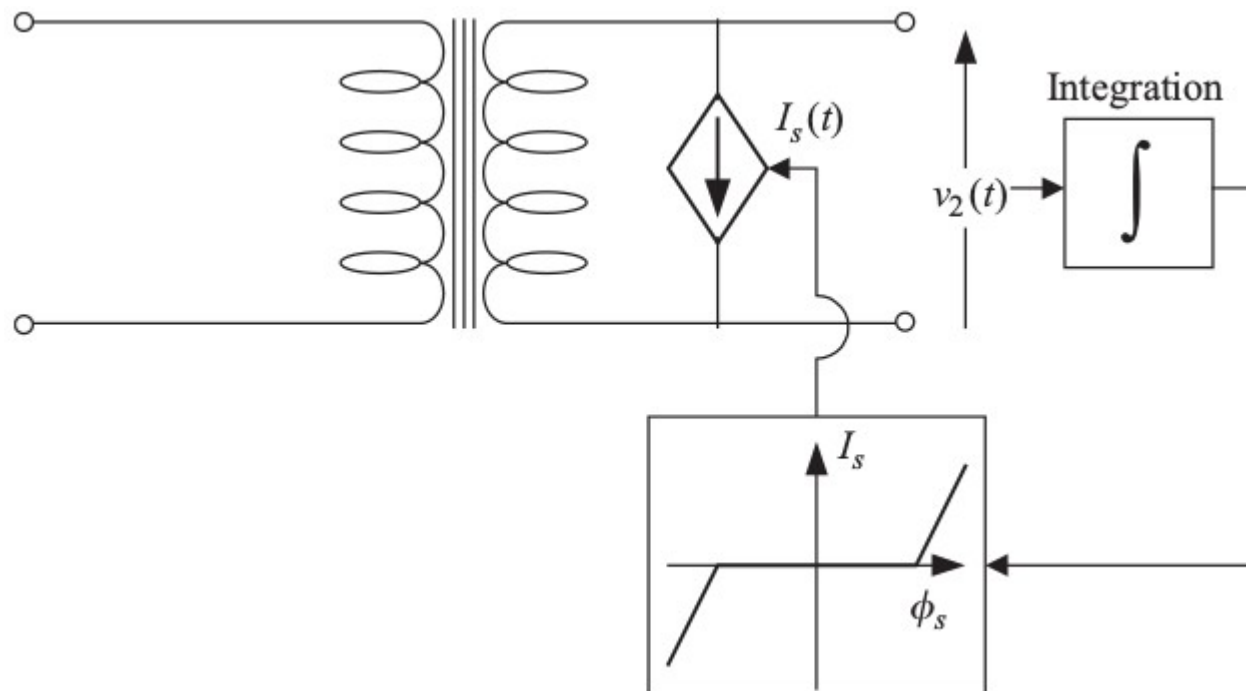
$$i_1(t) = I_h(t - \Delta t) + \left(\frac{L_{22}\Delta t}{2(L_{11}L_{22} - L_{12}L_{21})} - \frac{L_{21}\Delta t}{2(L_{11}L_{22} - L_{12}L_{21})} \right) v_1(t) + \frac{L_{21}\Delta t}{2(L_{11}L_{22} - L_{12}L_{21})} (v_1(t) - v_2(t)) \quad (7.1)$$

$$I_h(t - \Delta t) = i_1(t - \Delta t) + \left(\frac{L_{22}\Delta t}{2(L_{11}L_{22} - L_{12}L_{21})} - \frac{L_{21}\Delta t}{2(L_{11}L_{22} - L_{12}L_{21})} \right) v_1(t - \Delta t) + \frac{L_{21}\Delta t}{2(L_{11}L_{22} - L_{12}L_{21})} (v_1(t - \Delta t) - v_2(t - \Delta t)) \quad (7.2)$$

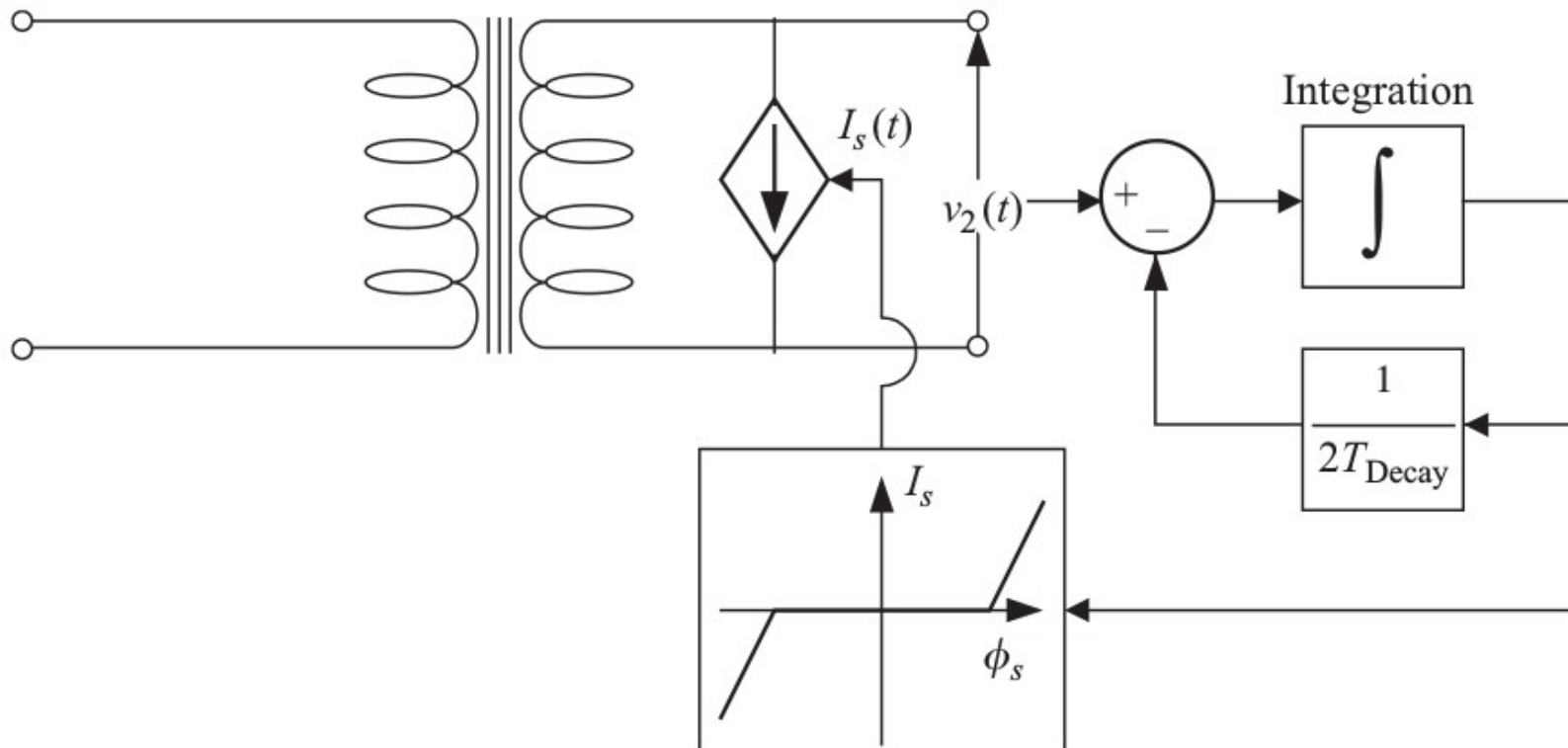
Substituição numérica:



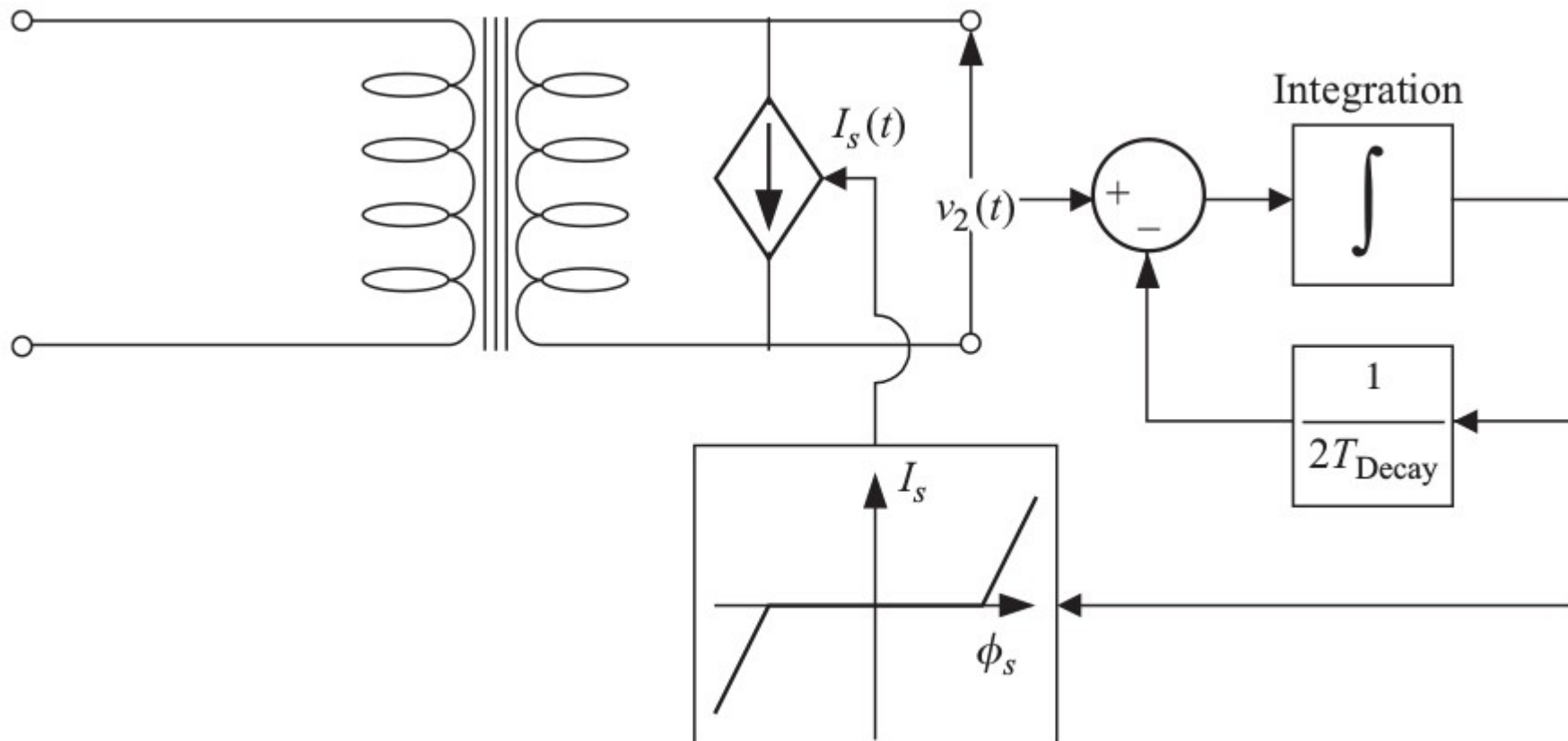
Consideração do efeito da Saturação



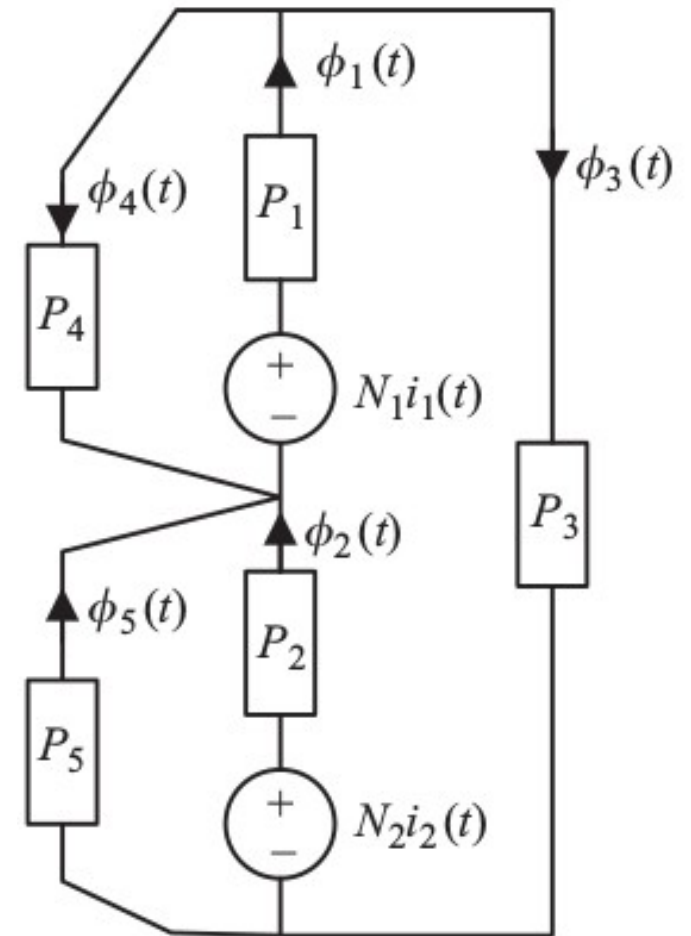
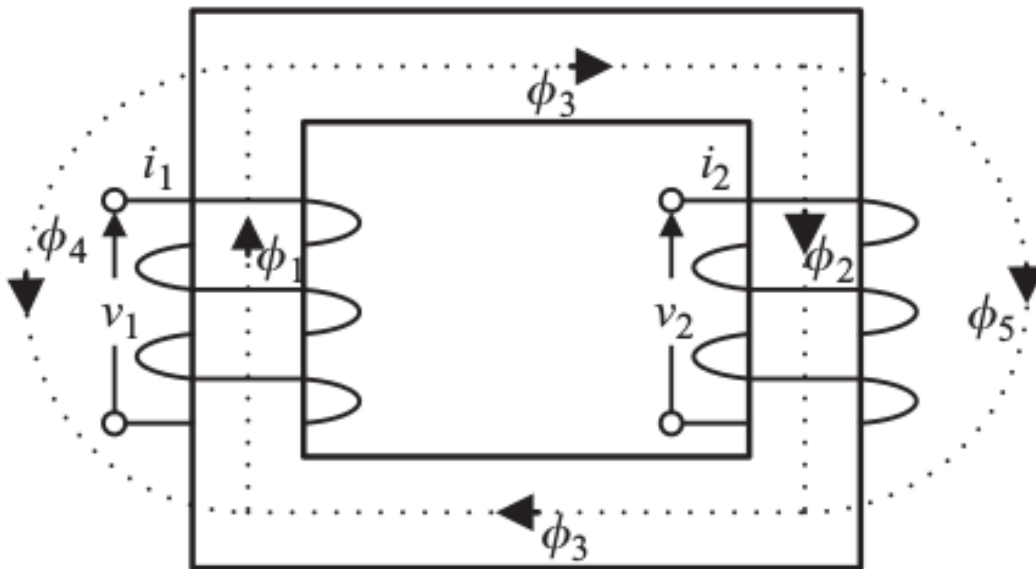
Consideração do efeito Inrush



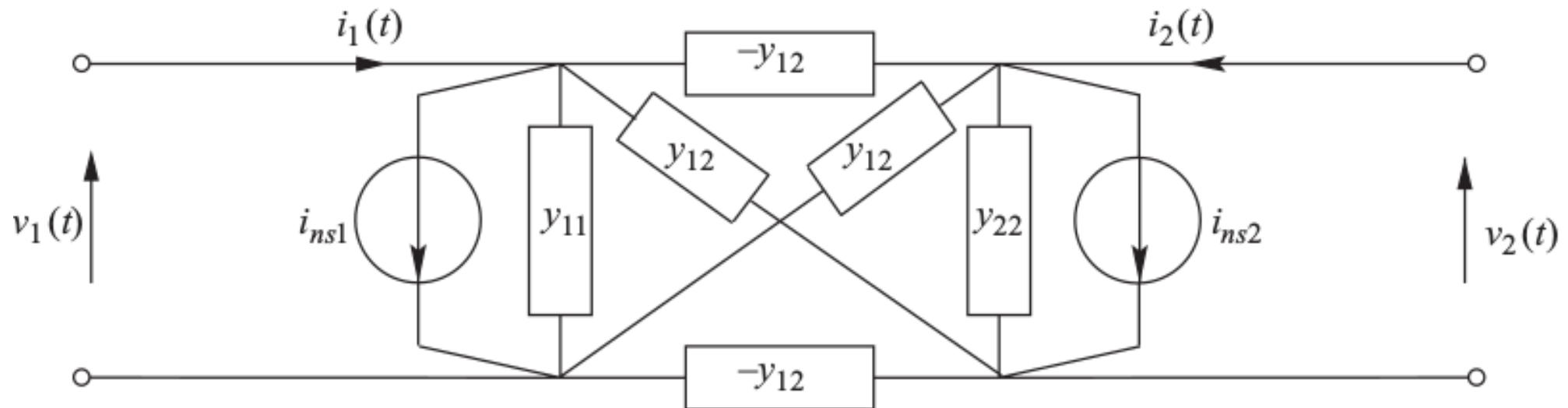
Consideração do efeito Inrush



Unified Magnetic Equivalent Circuit

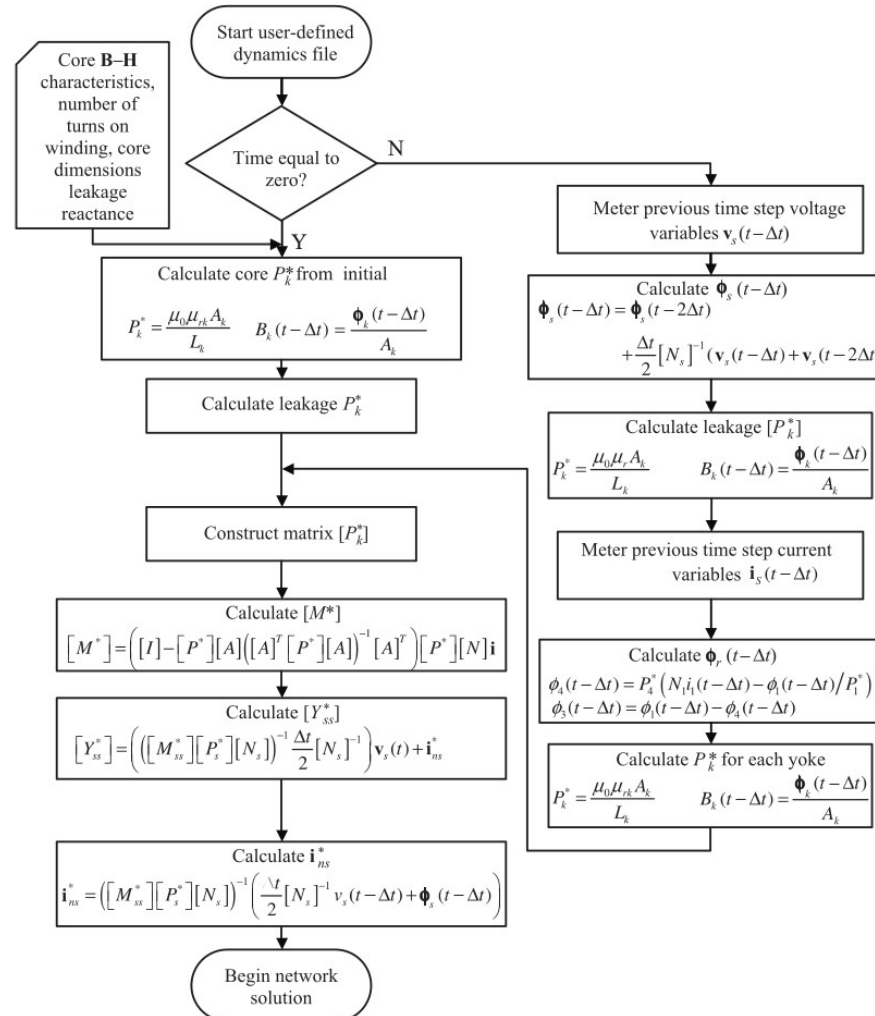


Unified Magnetic Equivalent Circuit

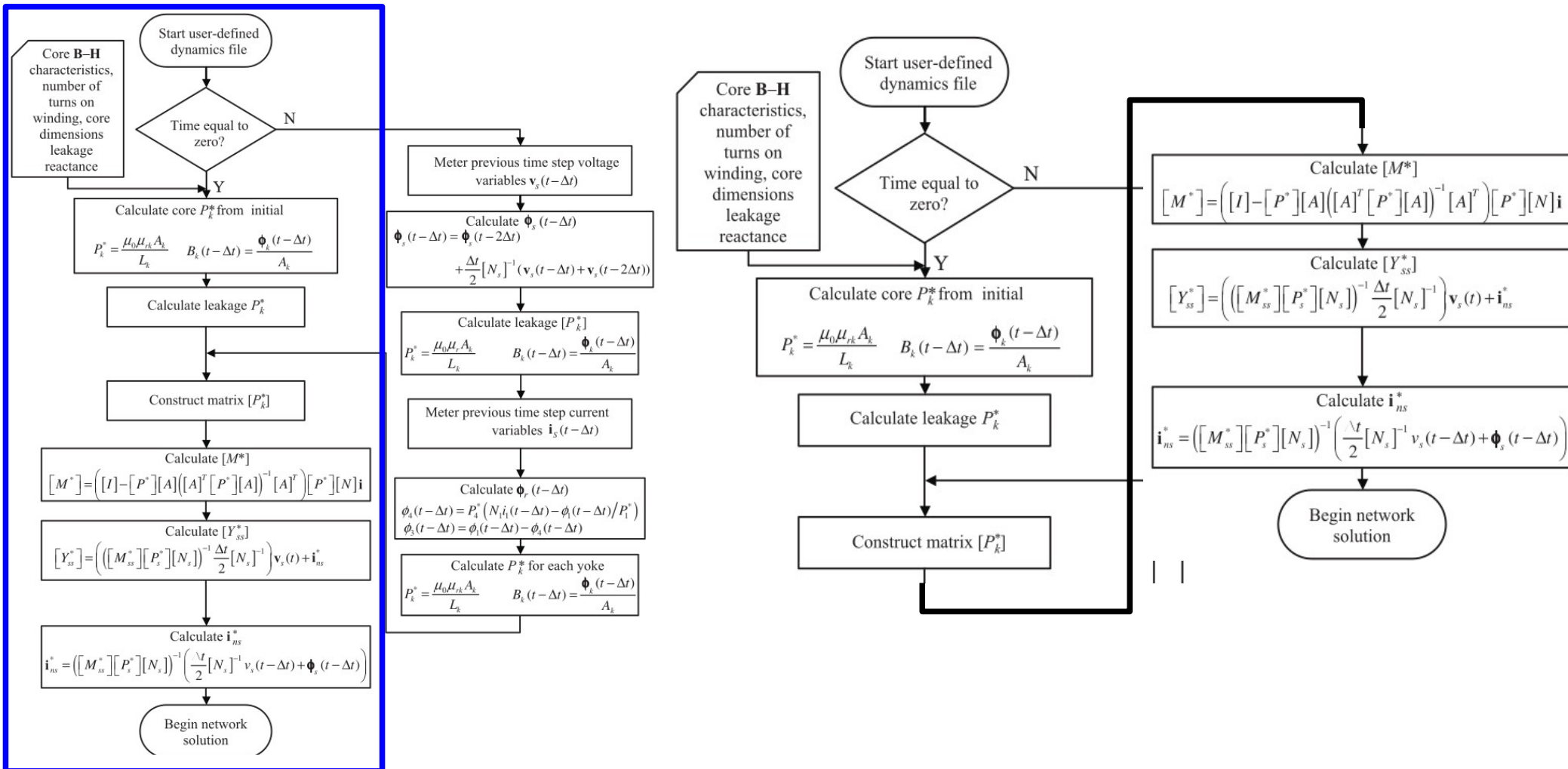


$$\begin{pmatrix} \mathbf{i}_1(t) \\ \mathbf{i}_2(t) \end{pmatrix} = \begin{bmatrix} y_{11} & y_{12} \\ y_{12} & y_{22} \end{bmatrix} \begin{pmatrix} \mathbf{v}_1(t) \\ \mathbf{v}_2(t) \end{pmatrix} + \begin{pmatrix} \mathbf{i}_{ns1}(t) \\ \mathbf{i}_{ns2}(t) \end{pmatrix}$$

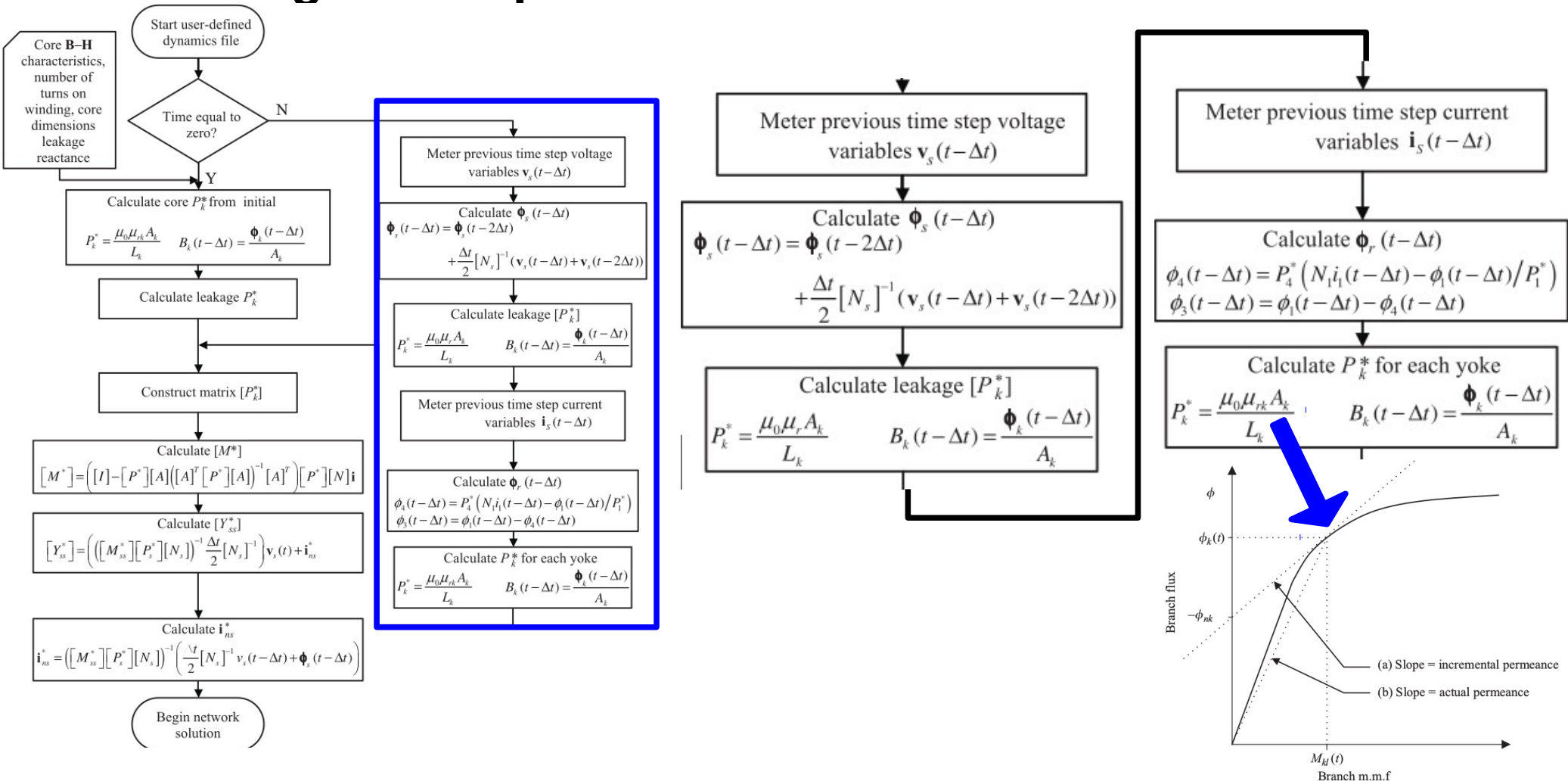
Unified Magnetic Equivalent Circuit



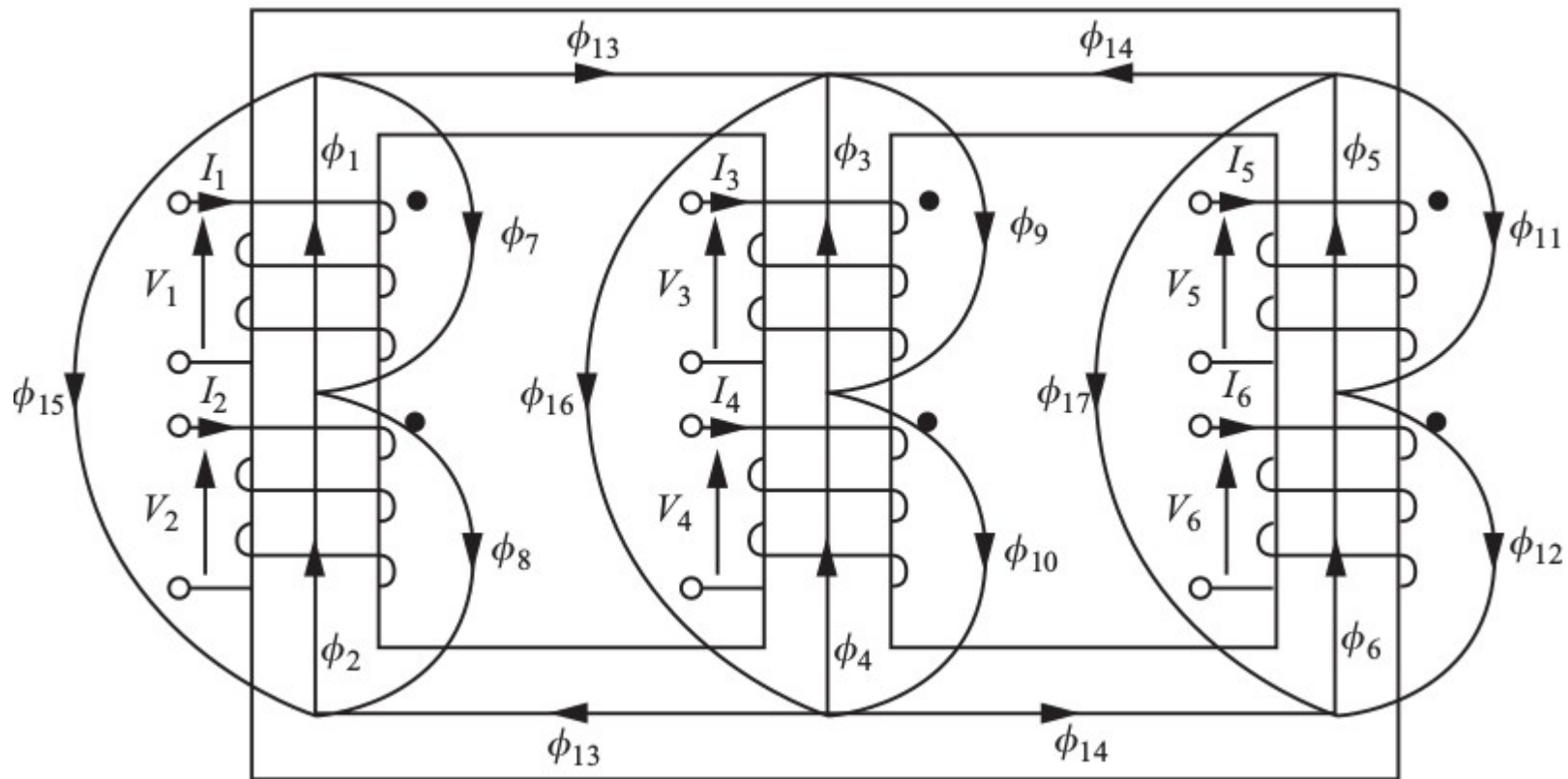
Unified Magnetic Equivalent Circuit



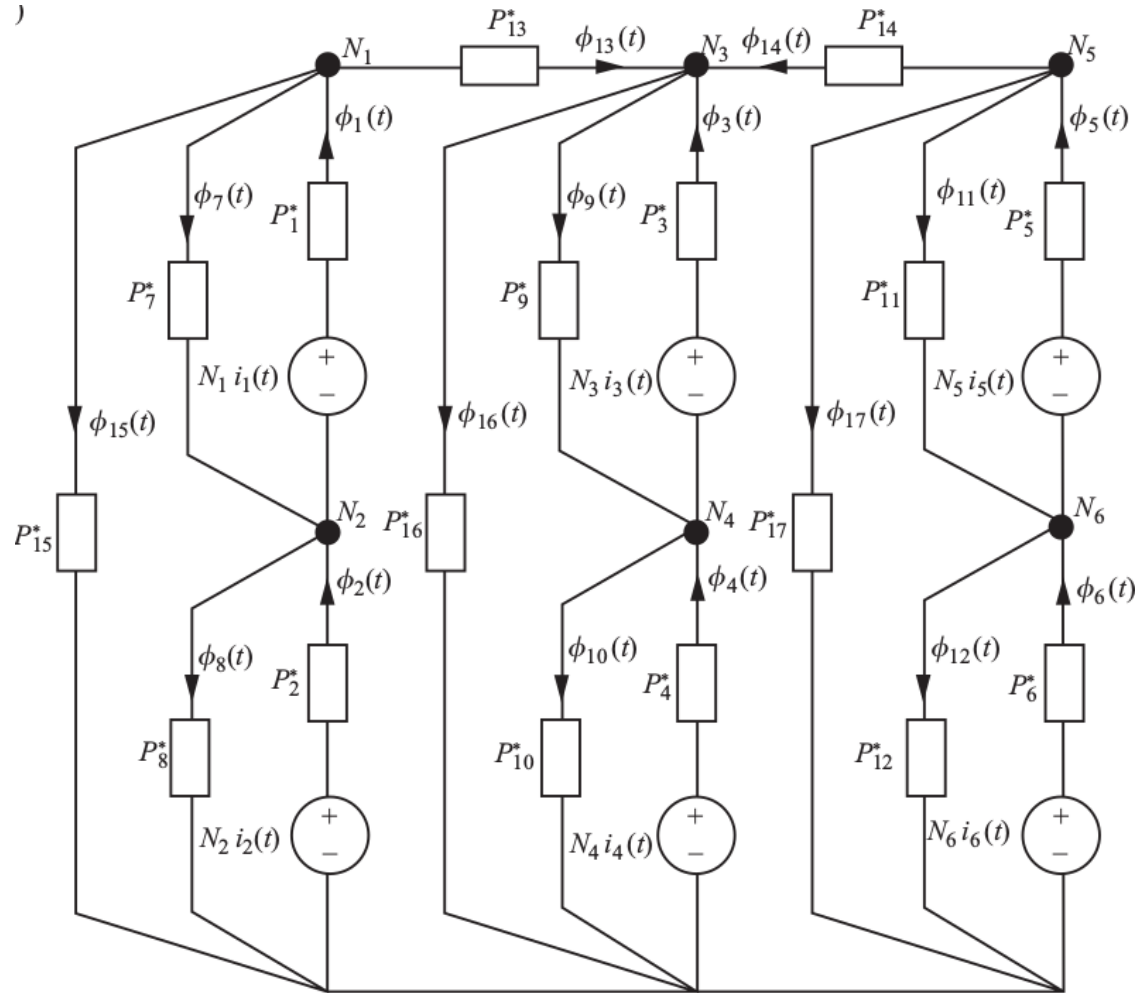
Unified Magnetic Equivalent Circuit



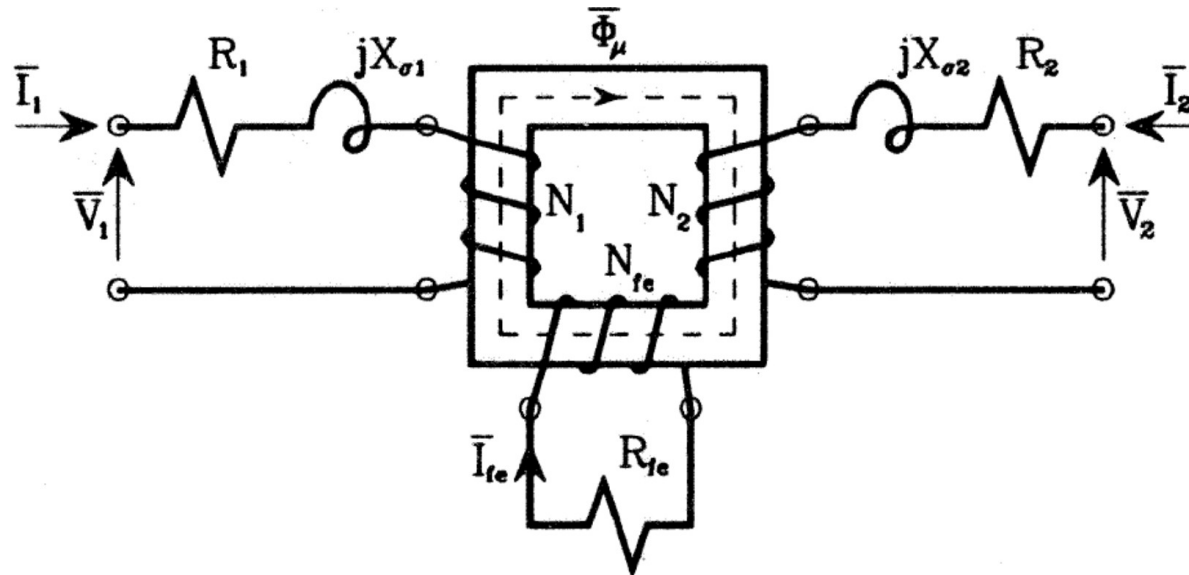
Unified Magnetic Equivalent Circuit



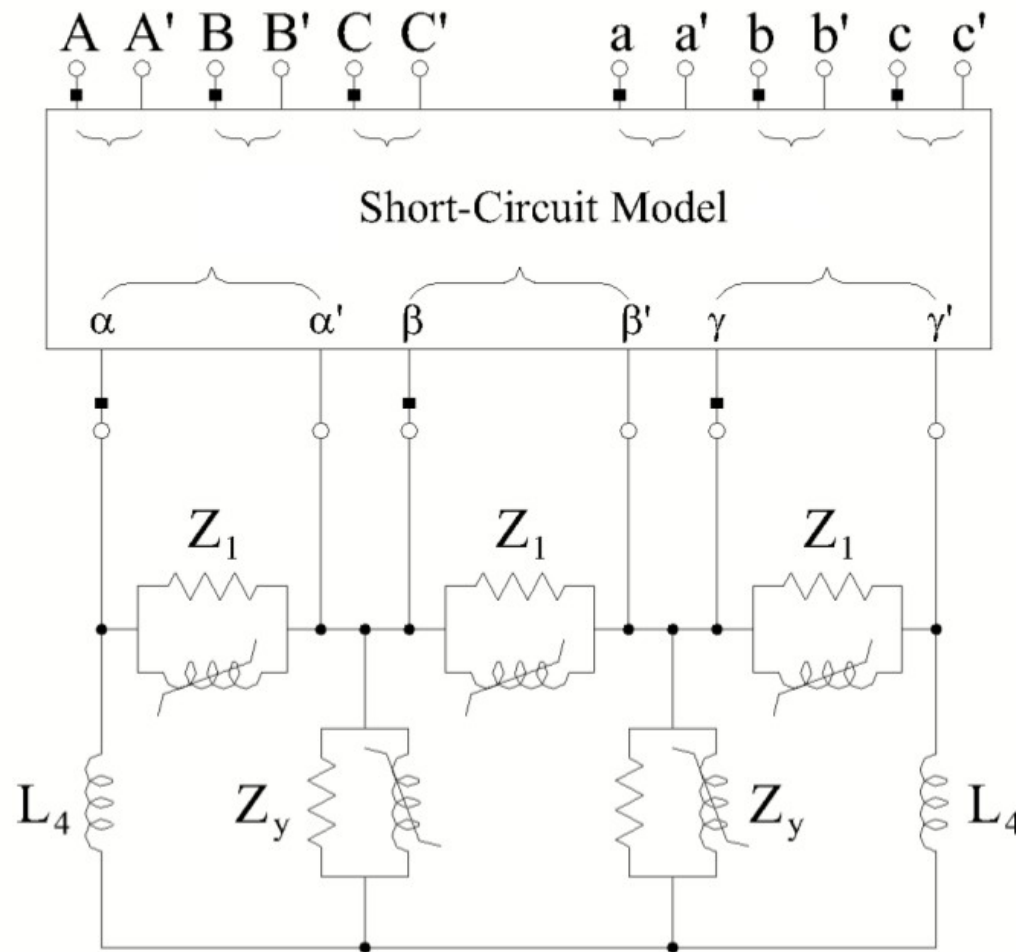
Unified Magnetic Equivalent Circuit



Perdas no Núcleo (Enrolamento Fictício)

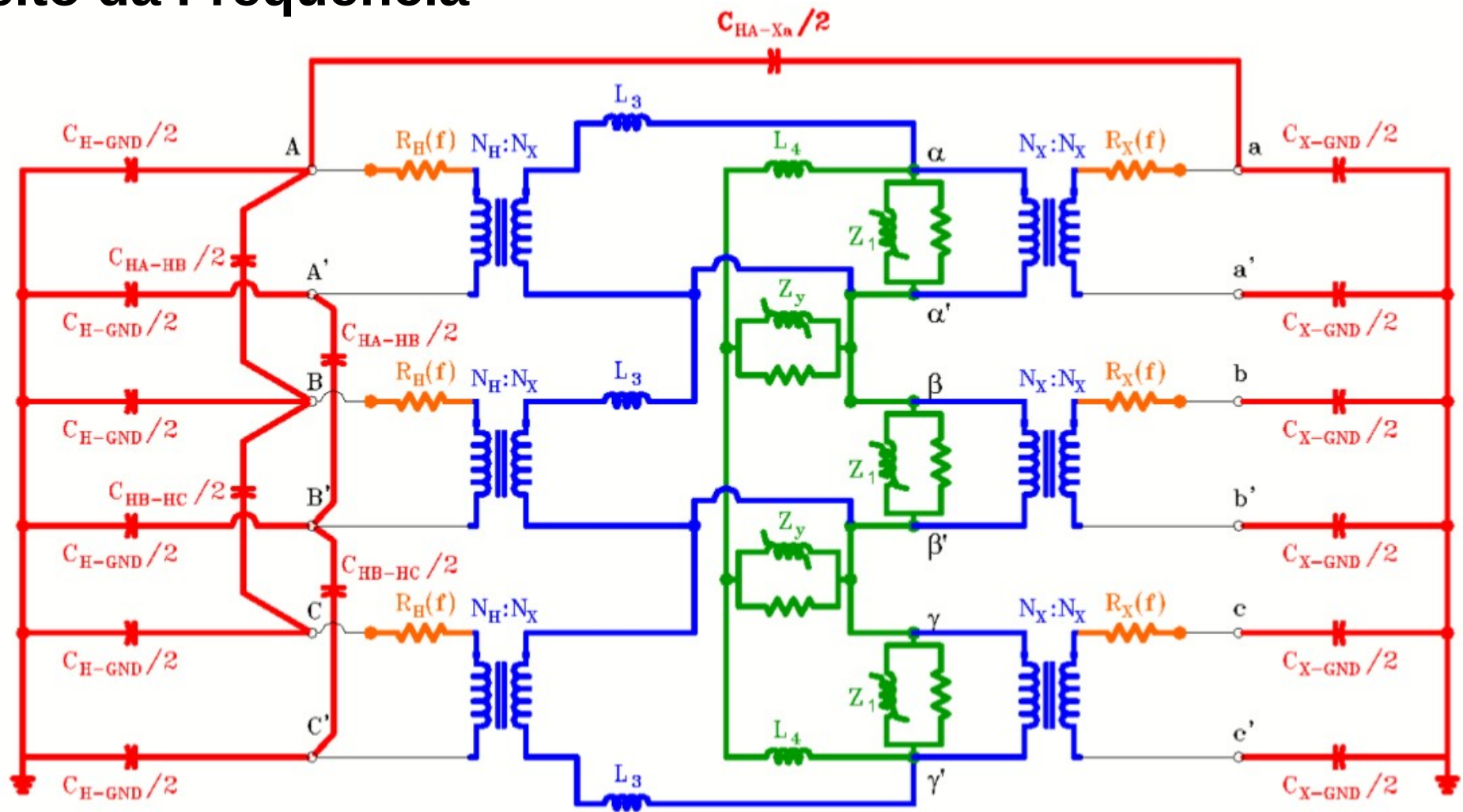


Perdas no Núcleo (Enrolamento Fictício)



Transformador 3 pernas

Efeito da Frequência

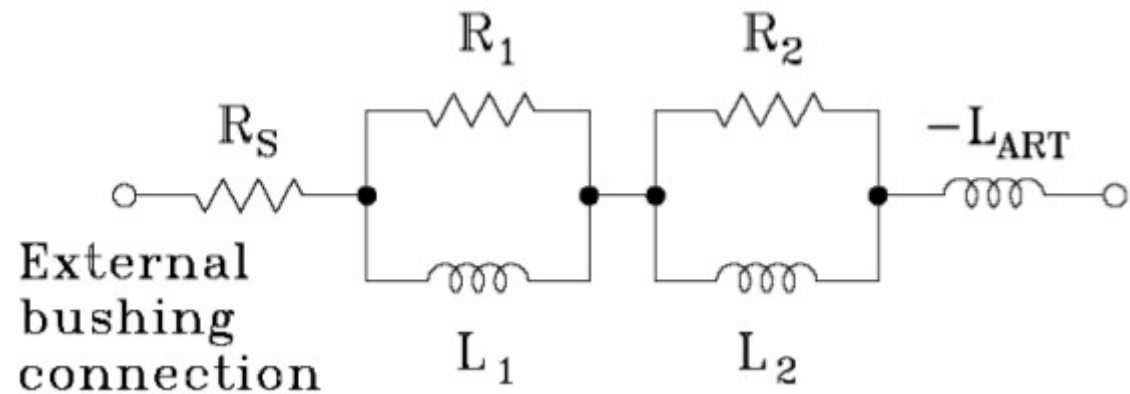


Efeito da Frequência

Resistência

Efeito Pelicular

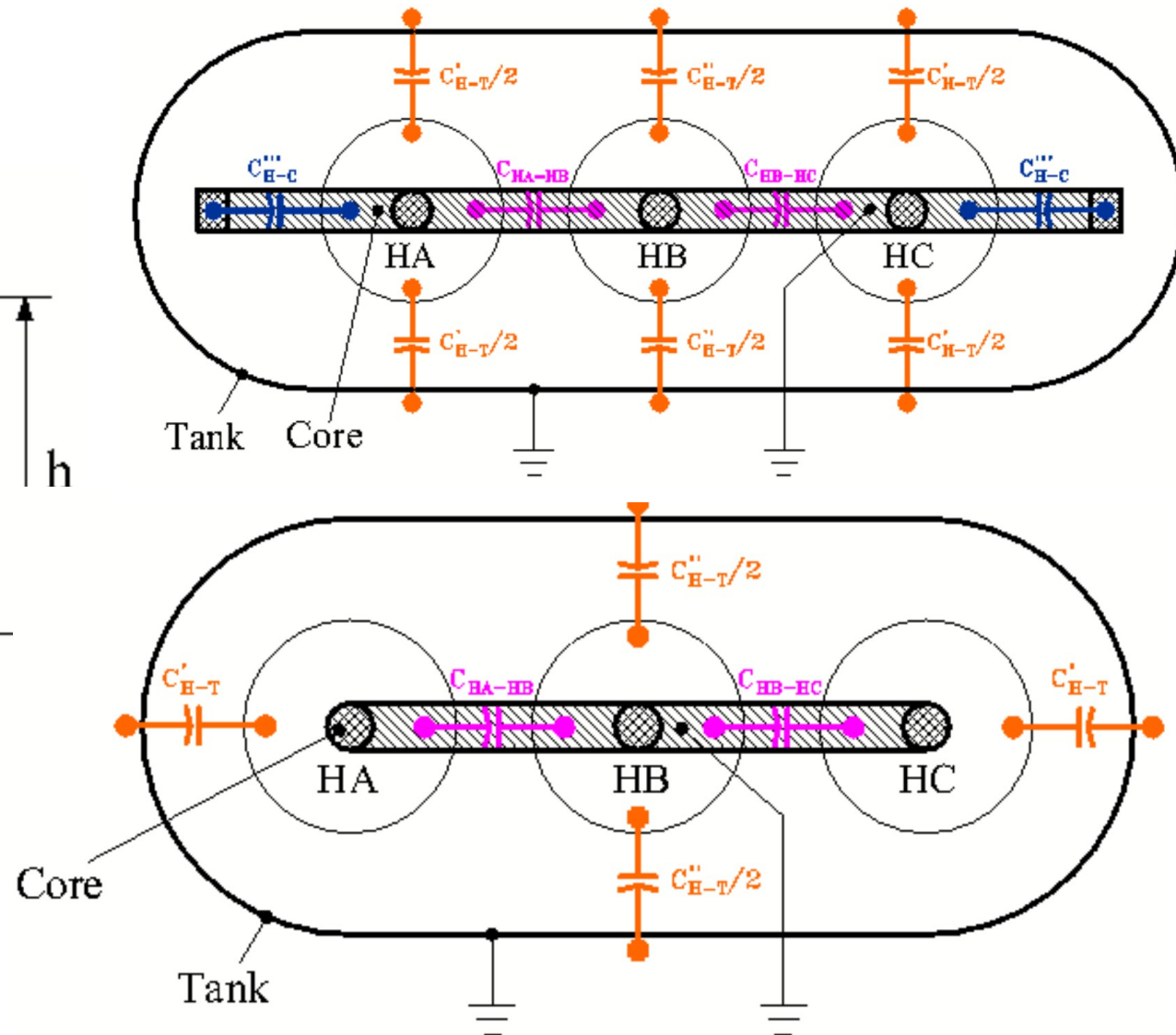
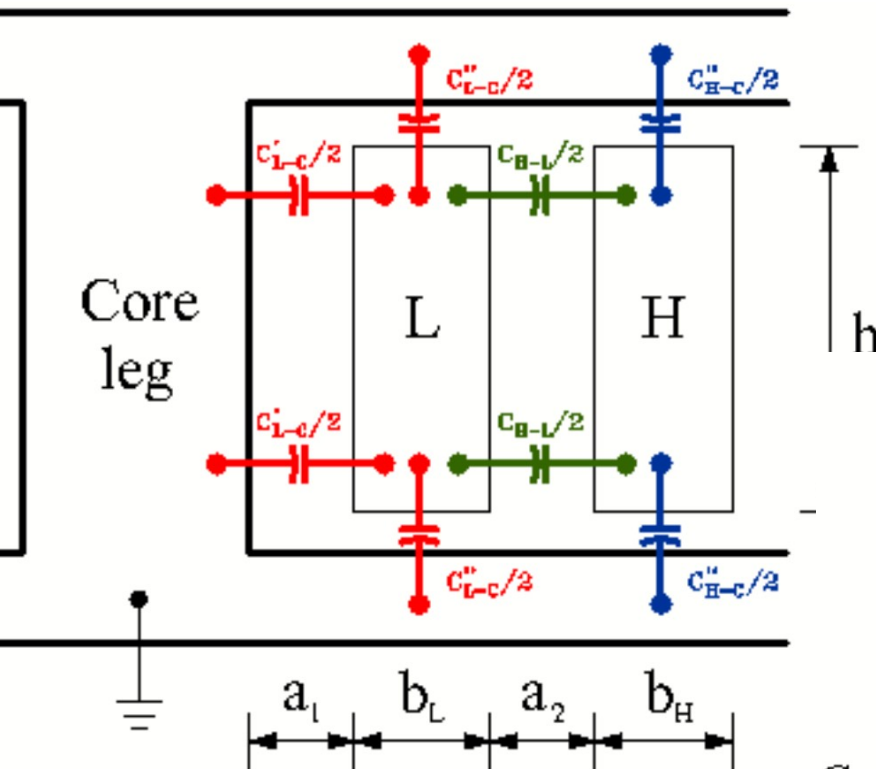
Efeito Proximidade

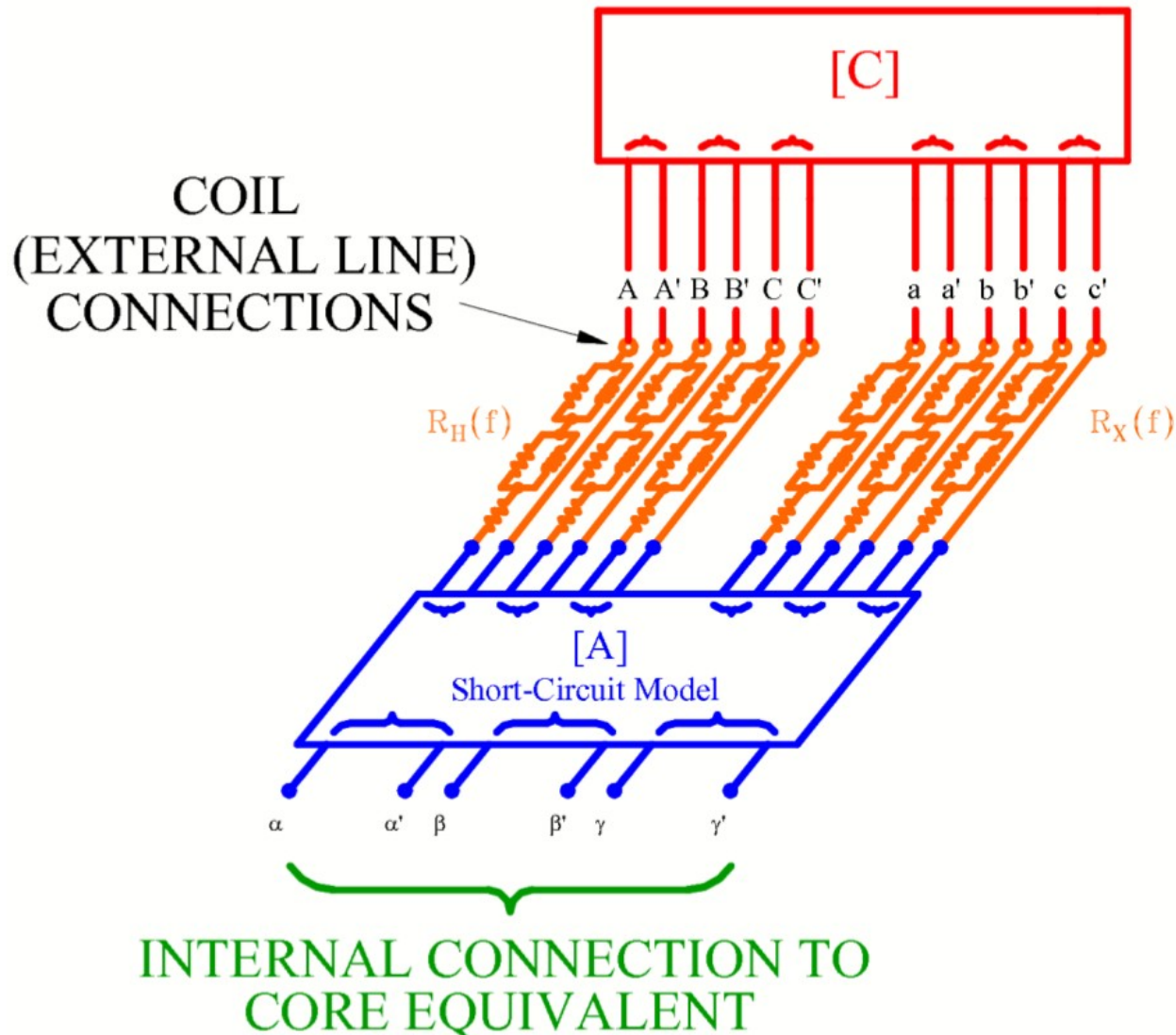


$$R_{eff} = R_S + \frac{R_1 \cdot (\omega L_1)^2}{R_1^2 + (\omega L_1)^2} + \frac{R_2 \cdot (\omega L_2)^2}{R_2^2 + (\omega L_2)^2}$$

$$F(R_1, L_1, R_2, L_2) = \sum_{i=1}^N [R_{given_i} - R_{eff}]^2$$

Efeito da Frequência





Referências

- [1] WATSON, Neville; ARRILLAGA, Jos. Power systems electromagnetic transients simulation. Iet, 2003.**
- [2] Chiesa, Nicola. Power transformer modelling: advanced core model. Diss. Master Thesis. Politecnico Di Milano, 2005.**
- [3] KRAUSE, Paul C. et al. Analysis of electric machinery and drive systems. John Wiley & Sons, 2013.**